

Starkniederschlagshöhen und -spenden gemäß KOSTRA-DWD-2010R

Auswertungszeitraum von 1951 - 2010, Januar - Dezember

Rasterfeld: 67015

Zeile: 67

Spalte: 15

Seite: 1/2

| Dauerstufe D | | Wiederkehrzeit T | | | | | | | | | | | | | | | | | |
|--------------|-----|------------------|------------|------|------------|------|------------|------|------------|------|------------|------|------------|------|------------|------|------------|-------|------------|
| | | 1 a | | 2 a | | 3 a | | 5 a | | 10 a | | 20 a | | 30 a | | 50 a | | 100 a | |
| min | Std | mm | l / (s ha) | mm | l / (s ha) | mm | l / (s ha) | mm | l / (s ha) | mm | l / (s ha) | mm | l / (s ha) | mm | l / (s ha) | mm | l / (s ha) | mm | l / (s ha) |
| 5 | | 4,7 | 156,7 | 6,4 | 213,3 | 7,3 | 243,3 | 8,6 | 286,7 | 10,2 | 340,0 | 11,9 | 396,7 | 12,8 | 426,7 | 14,0 | 466,7 | 15,7 | 523,3 |
| 10 | | 7,6 | 126,7 | 9,9 | 165,0 | 11,2 | 186,7 | 12,9 | 215,0 | 15,2 | 253,3 | 17,5 | 291,7 | 18,8 | 313,3 | 20,5 | 341,7 | 22,8 | 380,0 |
| 15 | | 9,5 | 105,6 | 12,3 | 136,7 | 13,9 | 154,4 | 15,9 | 176,7 | 18,7 | 207,8 | 21,5 | 238,9 | 23,1 | 256,7 | 25,1 | 278,9 | 27,9 | 310,0 |
| 20 | | 10,9 | 90,8 | 14,0 | 116,7 | 15,9 | 132,5 | 18,2 | 151,7 | 21,4 | 178,3 | 24,6 | 205,0 | 26,4 | 220,0 | 28,8 | 240,0 | 32,0 | 266,7 |
| 30 | | 12,7 | 70,6 | 16,6 | 92,2 | 18,8 | 104,4 | 21,6 | 120,0 | 25,5 | 141,7 | 29,3 | 162,8 | 31,6 | 175,6 | 34,4 | 191,1 | 38,2 | 212,2 |
| 45 | | 14,3 | 53,0 | 19,0 | 70,4 | 21,7 | 80,4 | 25,1 | 93,0 | 29,8 | 110,4 | 34,4 | 127,4 | 37,2 | 137,8 | 40,6 | 150,4 | 45,2 | 167,4 |
| 60 | | 15,3 | 42,5 | 20,6 | 57,2 | 23,7 | 65,8 | 27,7 | 76,9 | 33,0 | 91,7 | 38,3 | 106,4 | 41,4 | 115,0 | 45,4 | 126,1 | 50,7 | 140,8 |
| 90 | | 17,0 | 31,5 | 22,5 | 41,7 | 25,7 | 47,6 | 29,8 | 55,2 | 35,3 | 65,4 | 40,8 | 75,6 | 44,0 | 81,5 | 48,1 | 89,1 | 53,6 | 99,3 |
| 120 | 2 | 18,3 | 25,4 | 24,0 | 33,3 | 27,3 | 37,9 | 31,4 | 43,6 | 37,1 | 51,5 | 42,7 | 59,3 | 46,0 | 63,9 | 50,1 | 69,6 | 55,8 | 77,5 |
| 180 | 3 | 20,4 | 18,9 | 26,2 | 24,3 | 29,6 | 27,4 | 33,9 | 31,4 | 39,7 | 36,8 | 45,6 | 42,2 | 49,0 | 45,4 | 53,3 | 49,4 | 59,1 | 54,7 |
| 240 | 4 | 22,0 | 15,3 | 27,9 | 19,4 | 31,4 | 21,8 | 35,8 | 24,9 | 41,8 | 29,0 | 47,7 | 33,1 | 51,2 | 35,6 | 55,6 | 38,6 | 61,6 | 42,8 |
| 360 | 6 | 24,4 | 11,3 | 30,6 | 14,2 | 34,2 | 15,8 | 38,7 | 17,9 | 44,9 | 20,8 | 51,1 | 23,7 | 54,7 | 25,3 | 59,2 | 27,4 | 65,4 | 30,3 |
| 540 | 9 | 27,2 | 8,4 | 33,5 | 10,3 | 37,3 | 11,5 | 41,9 | 12,9 | 48,3 | 14,9 | 54,7 | 16,9 | 58,4 | 18,0 | 63,1 | 19,5 | 69,5 | 21,5 |
| 720 | 12 | 29,3 | 6,8 | 35,8 | 8,3 | 39,6 | 9,2 | 44,4 | 10,3 | 50,9 | 11,8 | 57,5 | 13,3 | 61,3 | 14,2 | 66,1 | 15,3 | 72,6 | 16,8 |
| 1080 | 18 | 32,6 | 5,0 | 39,3 | 6,1 | 43,2 | 6,7 | 48,2 | 7,4 | 54,9 | 8,5 | 61,7 | 9,5 | 65,6 | 10,1 | 70,6 | 10,9 | 77,3 | 11,9 |
| 1440 | 24 | 35,1 | 4,1 | 42,0 | 4,9 | 46,0 | 5,3 | 51,1 | 5,9 | 58,0 | 6,7 | 64,9 | 7,5 | 68,9 | 8,0 | 74,0 | 8,6 | 80,9 | 9,4 |
| 2880 | 48 | 41,8 | 2,4 | 48,9 | 2,8 | 53,1 | 3,1 | 58,4 | 3,4 | 65,5 | 3,8 | 72,7 | 4,2 | 76,8 | 4,4 | 82,1 | 4,8 | 89,2 | 5,2 |
| 4320 | 72 | 46,3 | 1,8 | 53,6 | 2,1 | 57,8 | 2,2 | 63,2 | 2,4 | 70,5 | 2,7 | 77,8 | 3,0 | 82,0 | 3,2 | 87,4 | 3,4 | 94,7 | 3,7 |

Angaben in mm: Bemessungsniederschlagswerte h(n)

Angaben in l / (s ha): Regenspende R(n) mit $R(n) = h(n) \times 1,666667 / D[\text{min}]$

Toleranzbereiche:

+/- 10 % für $1 \text{ a} \leq T \leq 5 \text{ a}$

+/- 15 % für $5 \text{ a} < T \leq 50 \text{ a}$

+/- 20 % für $50 \text{ a} < T \leq 100 \text{ a}$

Datenbasis: KOSTRA-DWD-2010R des Deutschen Wetterdienstes. Die Regenspende wurde auf Basis des Bemessungsniederschlags zur jeweiligen Andauer berechnet.

Für die Richtigkeit und Aktualität der Angaben wird keine Gewähr übernommen. Erstellt 07/2022.

Starkniederschlagshöhen und -spenden gemäß KOSTRA-DWD-2010R

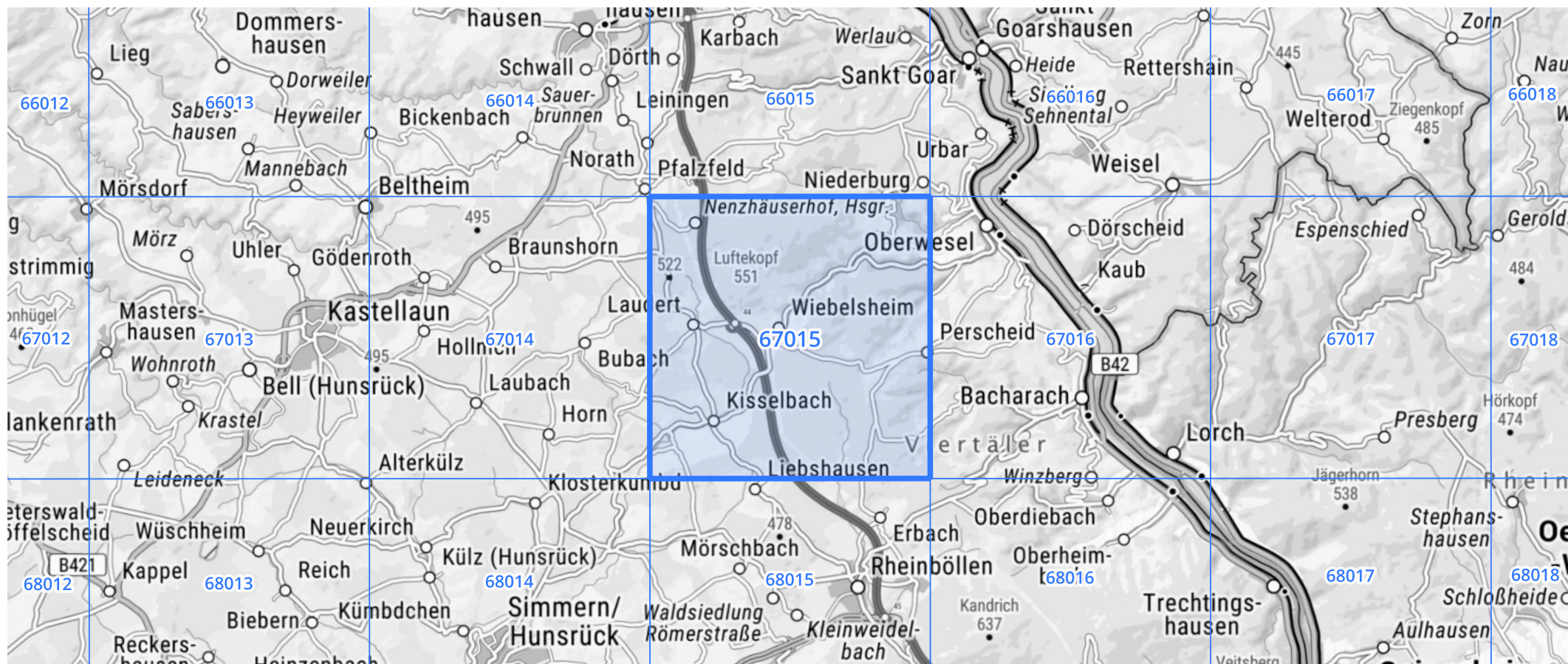
Auswertungszeitraum von 1951 - 2010, Januar - Dezember

Rasterfeld: 67015

Zeile: 67

Spalte: 15

Seite: 2/2



Quelle Rasterdaten: KOSTRA-DWD-2010R des Deutschen Wetterdienstes.

Kartendarstellung: © Bundesamt für Kartographie und Geodäsie (2022), Datenquellen: https://sgx.geodatenzentrum.de/web_public/gdz/datenquellen/Datenquellen_TopPlusOpen.html

Für die Richtigkeit und Aktualität der Angaben wird keine Gewähr übernommen. Erstellt 07/2022.